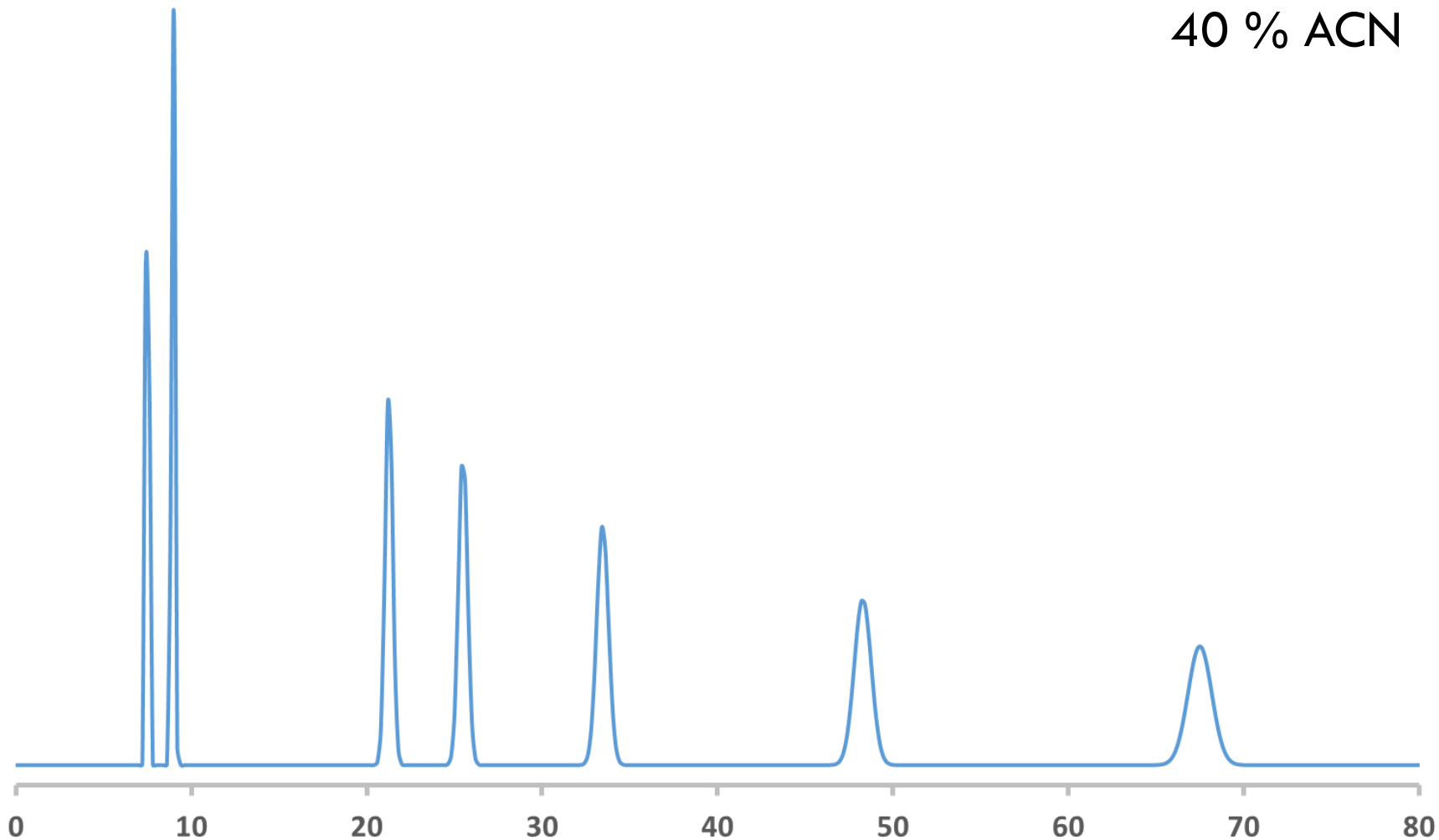


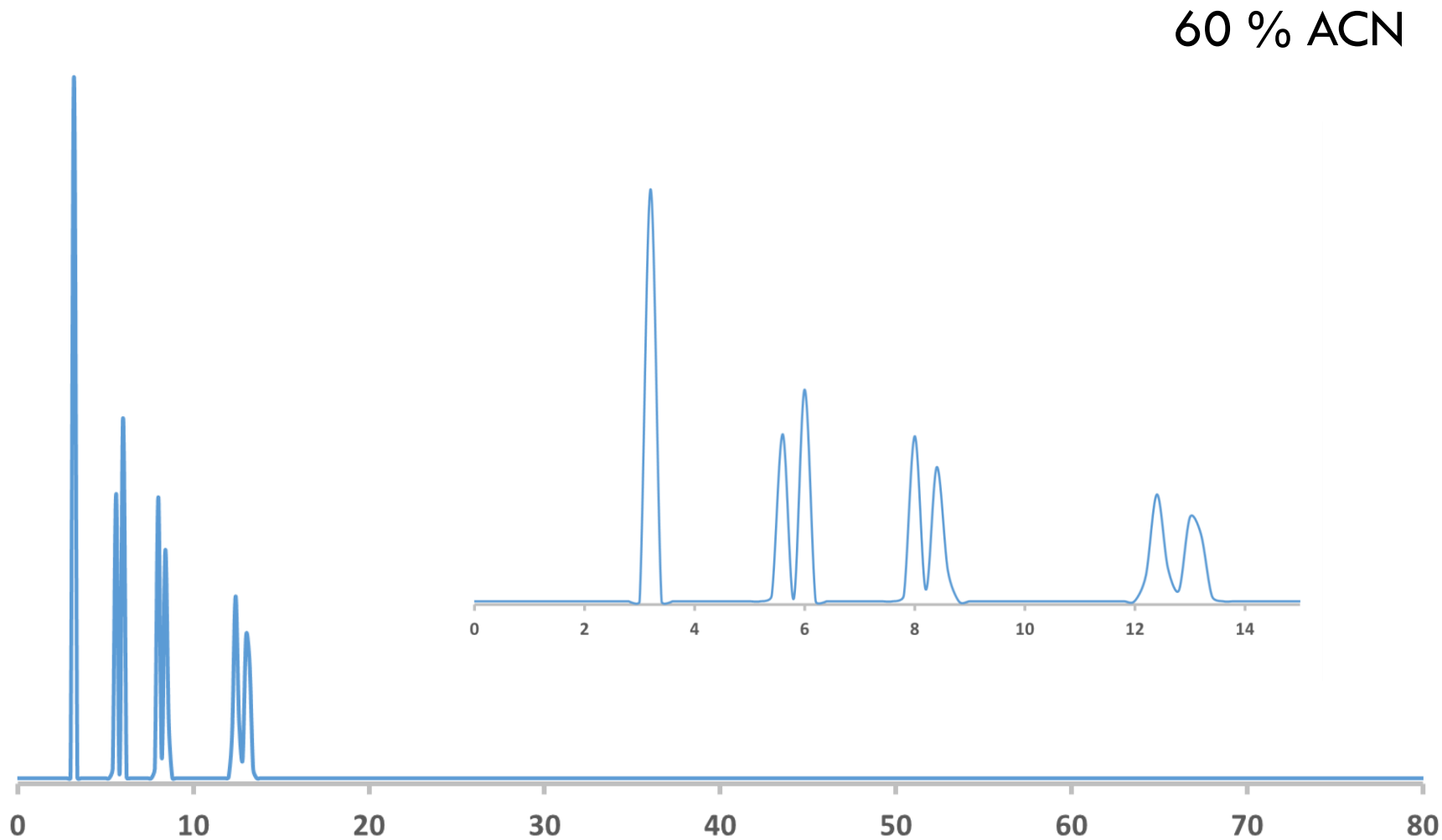
# GRADIENTOVÁ ELUCE

Pokročilá kapalinová chromatografie

# KONSTANTNÍ SLOŽENÍ MOBILNÍ FÁZE

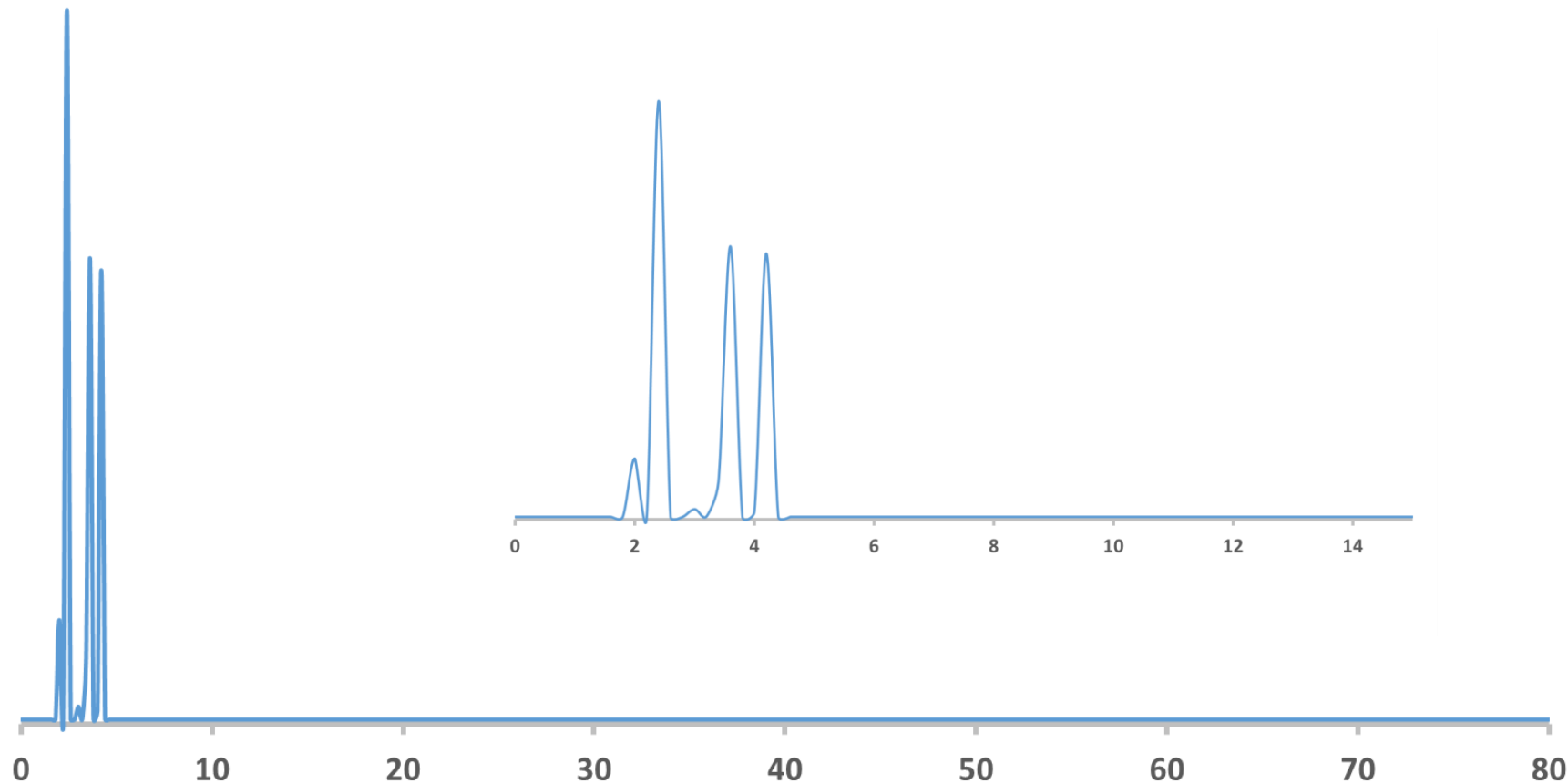


# KONSTANTNÍ SLOŽENÍ MOBILNÍ FÁZE



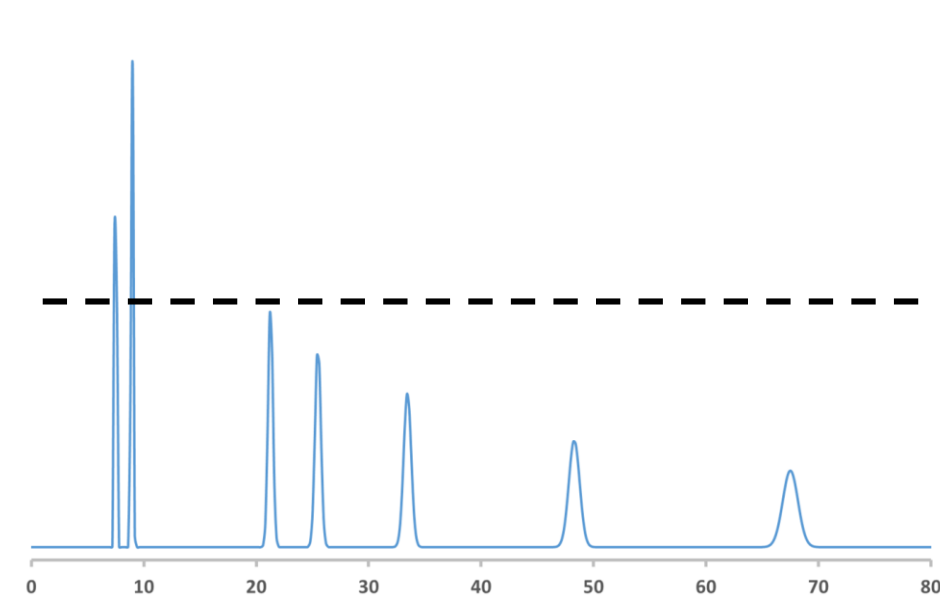
# KONSTANTNÍ SLOŽENÍ MOBILNÍ FÁZE

80 % ACN



# CHROMATOGRAFICKÁ ELUCE

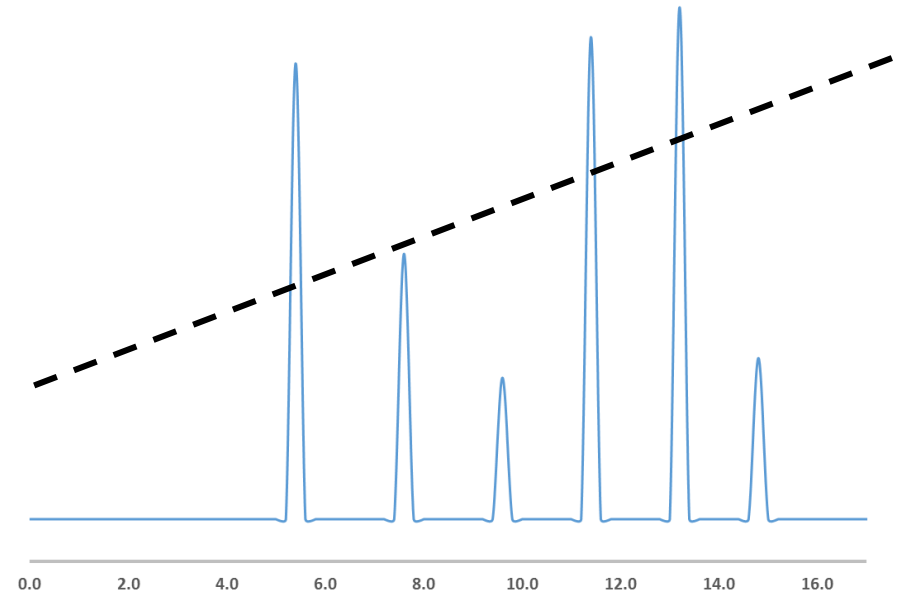
Izokratická eluce



40 % acetonitrilu

70 minut

Gradientová eluce eluce



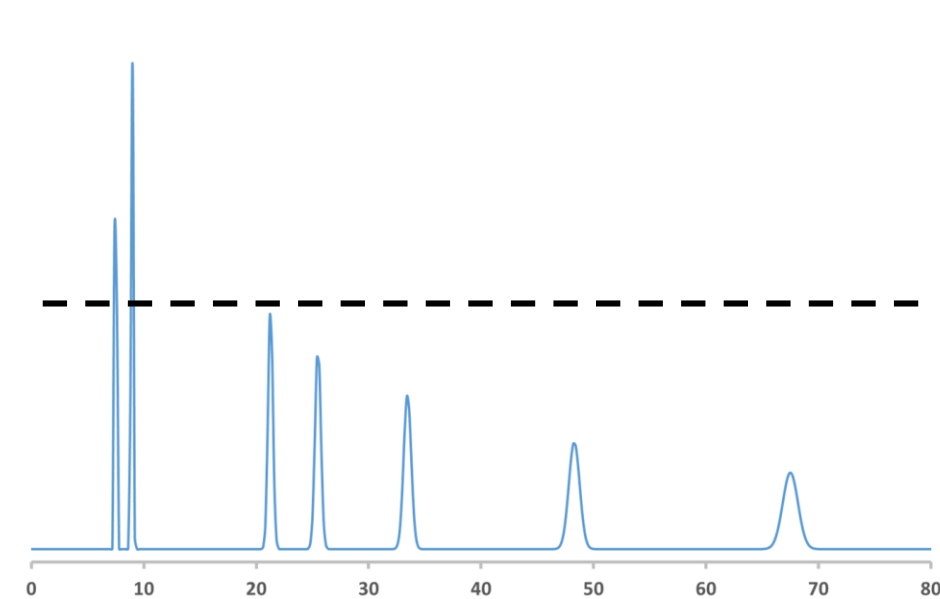
20 – 80 % acetonitrilu ve 20 min

15 minut

Kontinuální změna složení mobilní fáze. Snížení retence více zadržovaných látek

# CHROMATOGRAFICKÁ ELUCE

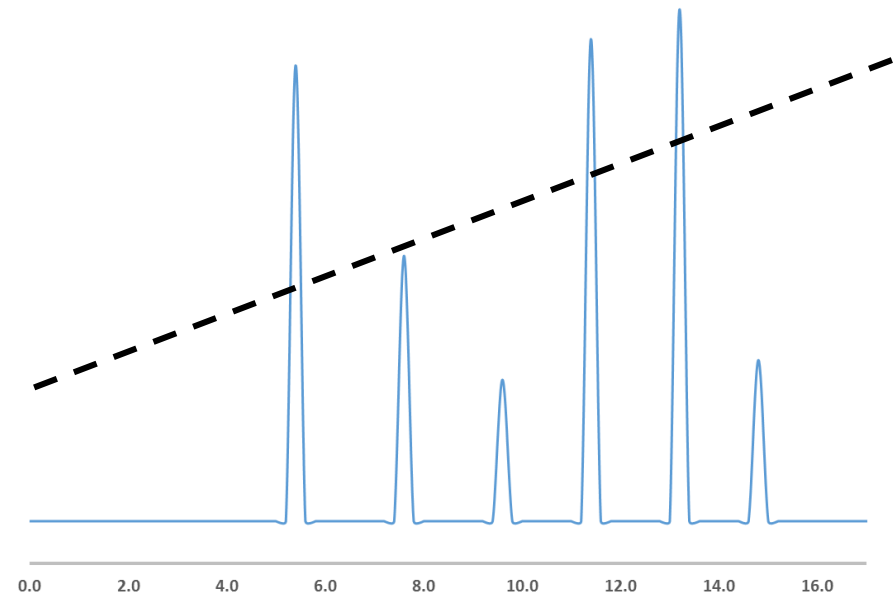
Izokratická eluce



40 % acetonitrilu

70 minut

Gradientová eluce eluce

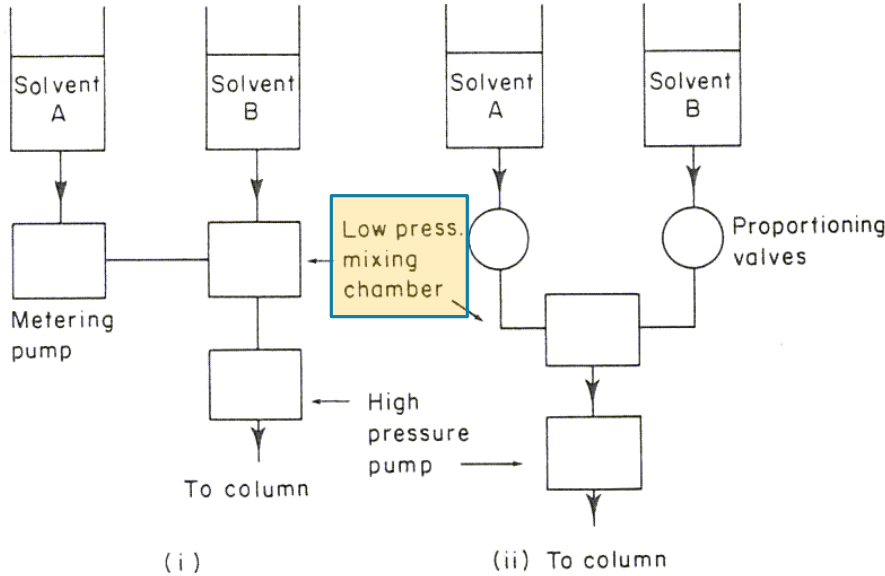


20 – 80 % acetonitrilu ve 20 min

15 minut

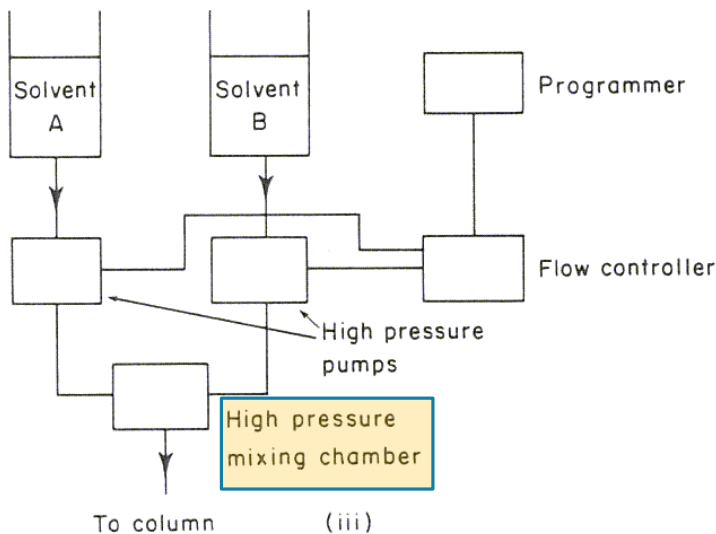
Kontinuální změna složení mobilní fáze. Snížení retence více zadržovaných látek

# TVORBA GRADIENTU



## Nízkotlaký gradient

- Až čtyři složky mobilní fáze
- Vyšší zpoždění gradientu
- Tvorba gradientu **PŘED** čerpadlem



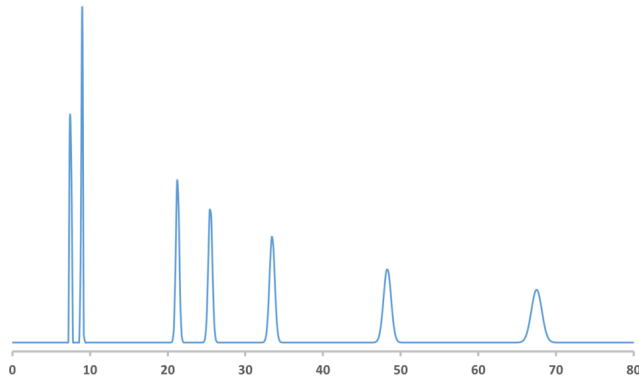
## Vysokotlaký gradient

- Vysokotlaká čerpadla
- Menší zpoždění gradientu
- Tvorba gradientu **ZA** čerpadlem

# VÝHODY A NEVÝHODY GRADIENTOVÉ ELUCE

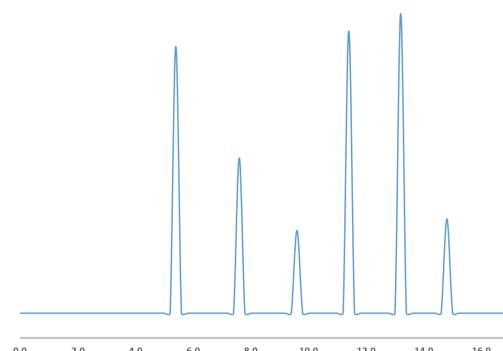
## Nevýhody

- Ekvilibrace kolony
- Převod metody
- Čistota rozpouštědel
- Kompatibilita detekce



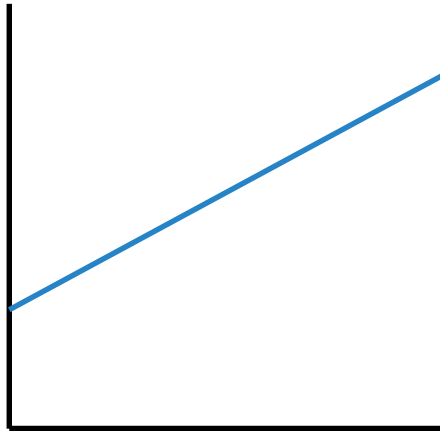
## Výhody

- Odstranění nečistot
- Větší rozpětí (retence) látek
- Zvýšení píkové kapacity
- 2D-LC
- Zaostření píků (citlivost detekce)
- Velké molekuly
- MS spojení

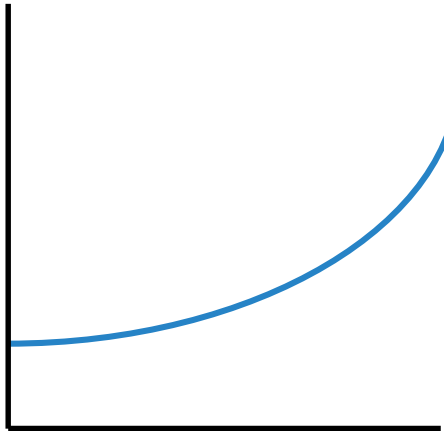


# TYPY GRADIENTŮ

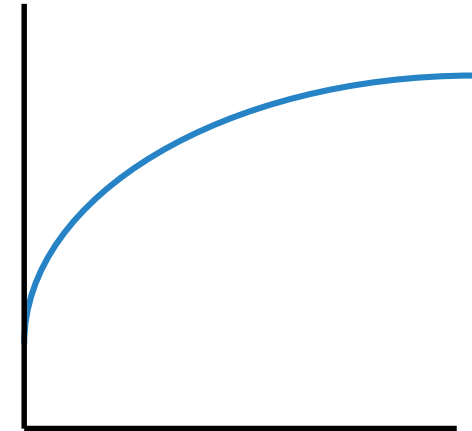
Lineární



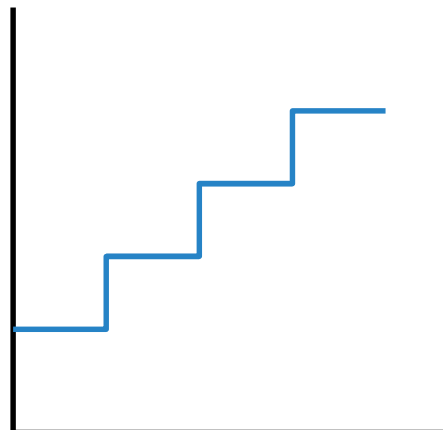
Konvexní



Konkávní



Skokové



## Složky

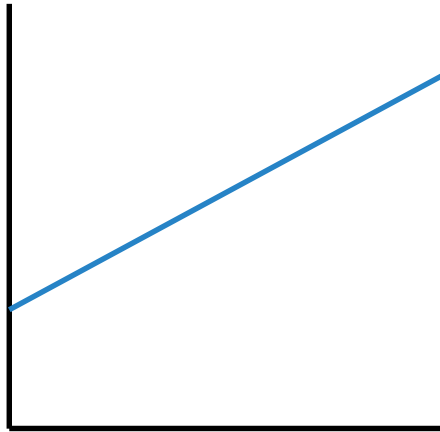
- 2, 3, 4, ...

## Mód

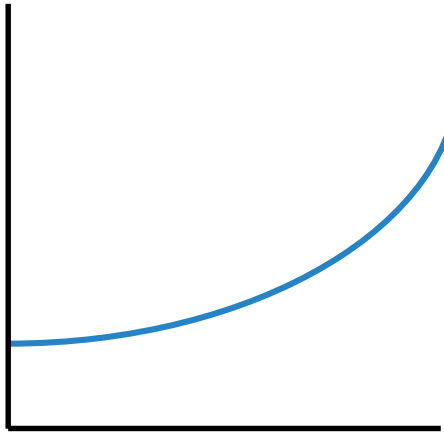
- RP, NARP, Ion pair, pH, IS, IEX, NP, HILIC

# TYPY GRADIENTŮ

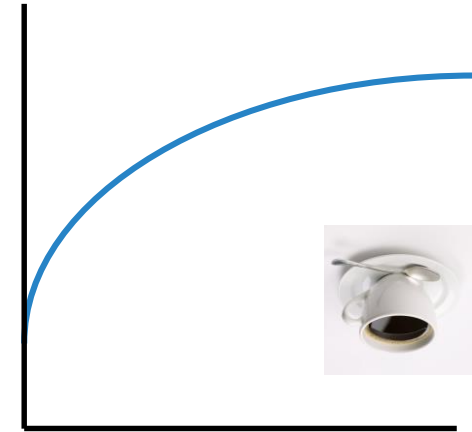
Lineární



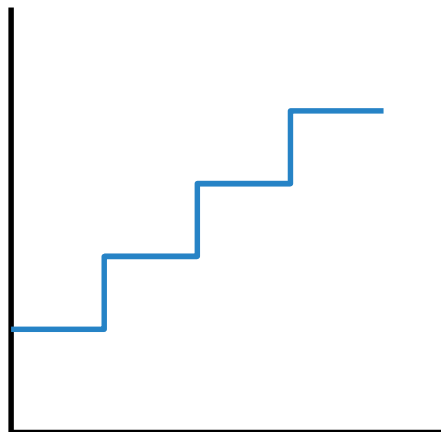
Konvexní



Konkávní



Krokové



## Složky

- 2, 3, 4, ...

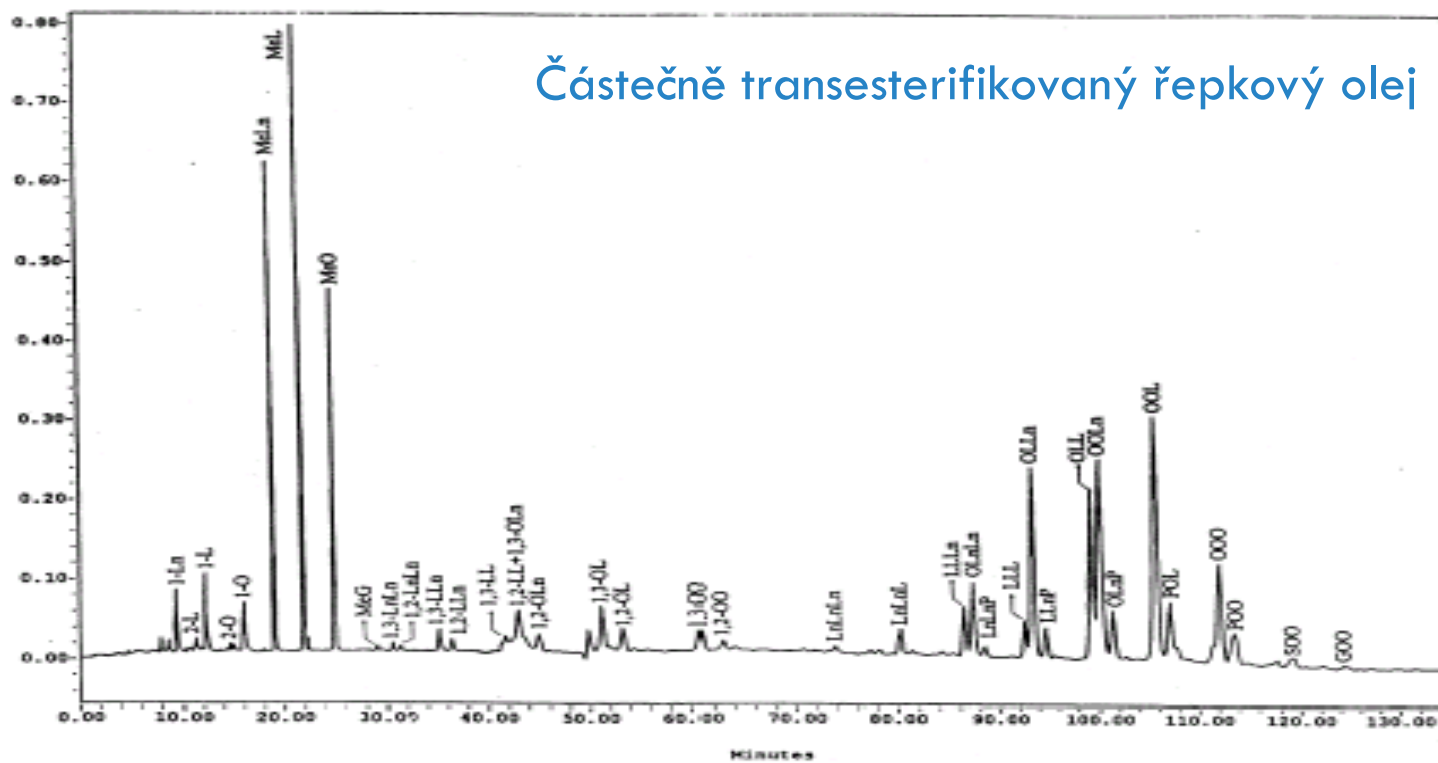
## Mód

- RP, NARP, Ion pair, pH, IS, IEX, NP, HILIC

# TŘÍSLOŽKOVÉ GRADIENTY

Dvě Nova-Pak C18 kolony v sérii, 4 µm (3.9 x 150 mm I.D.)

- 70 - 100% acetonitril – voda do 20 min,
- 100% acetonitril do 36 min,
- 100% acetonitril - 60% 2-propanol/acetonitril do 132 min.



Methyl estery (Ms),  
mono-, di- and  
triacylglyceroly

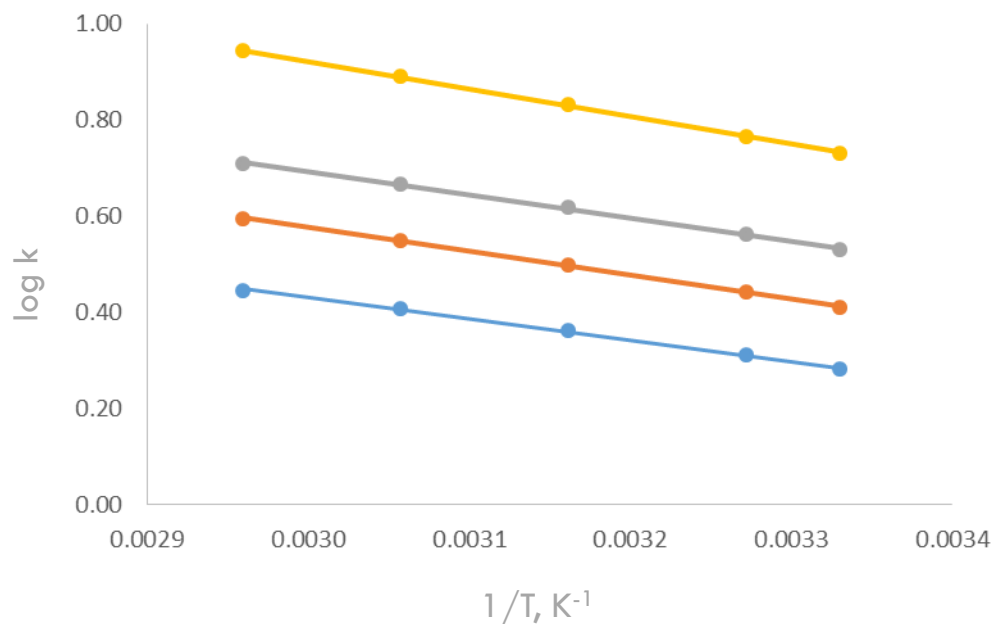
Ln - linolenové,  
L - linolové,  
O - olejové,  
P - palmitové,  
S - stearové,  
G – gadoleové  
kyseliny.

1 ml/min  
UV detekce 205 nm

# GRADIENTY TEPLIT

van't Hoffova rovnice

$$\log k = A + \frac{B}{T}$$



Menší citlivost na změnu

- $\Delta T 4 - 5^\circ\text{C} \sim \Delta\varphi 1\% \text{ ACN}$

Tepelná stabilita kolon ( $60^\circ\text{C}$ )

- bidentátové kolony,  $\text{ZrO}_2$  ( $100^\circ\text{C}$ )

Pomalejší odezva

- nanoLC a  $\mu\text{LC}$

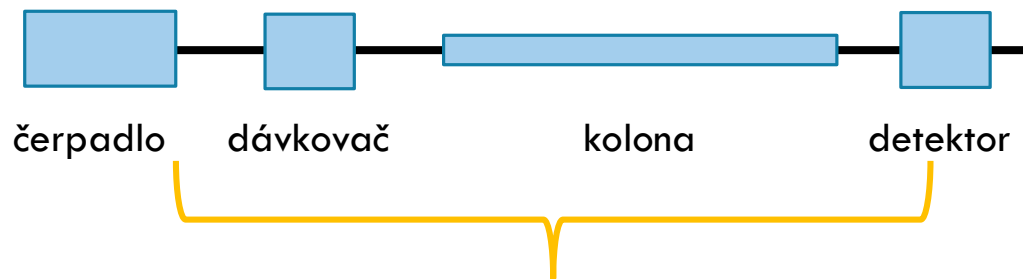
Instrumentace

- Peltierův termostat

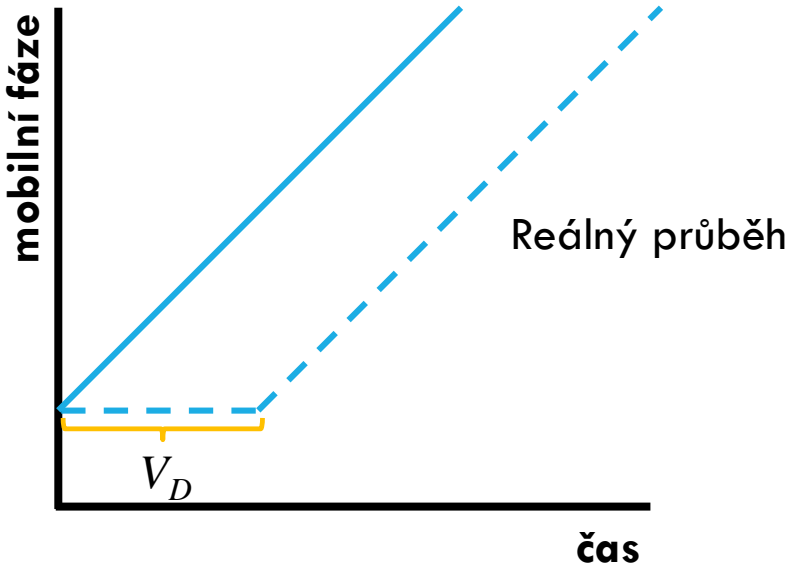
Spíš doplňkově  
nebo ve specifických případech

# ZPOŽDĚNÍ GRADIENTU

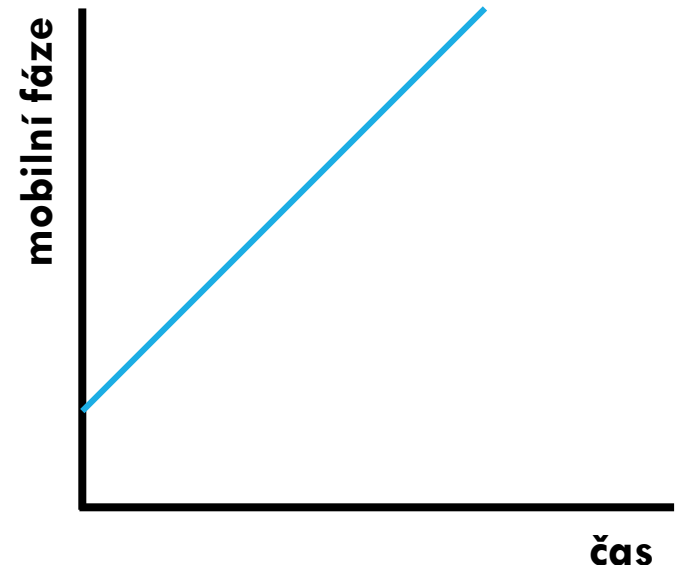
$V_D$



Zpoždění gradientu  
(objem mobilní fáze)



Teoretický průběh

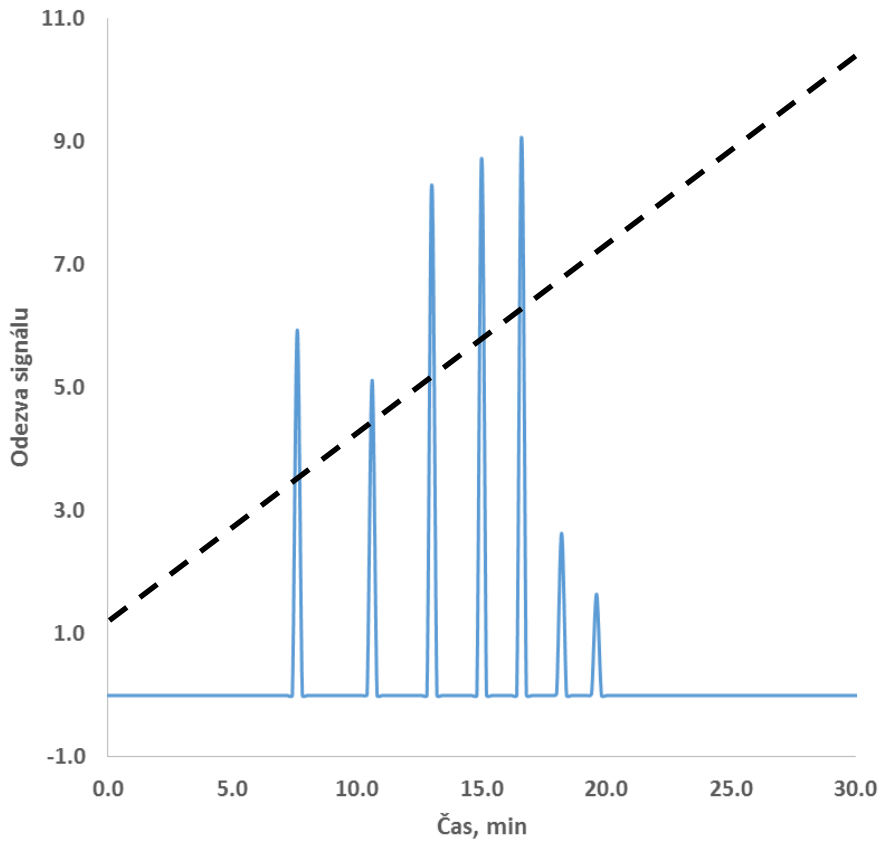


- 1% aceton jako mobilní fáze B
- Silně ovlivněno instrumentací
- Nutno zahrnout do optimalizace

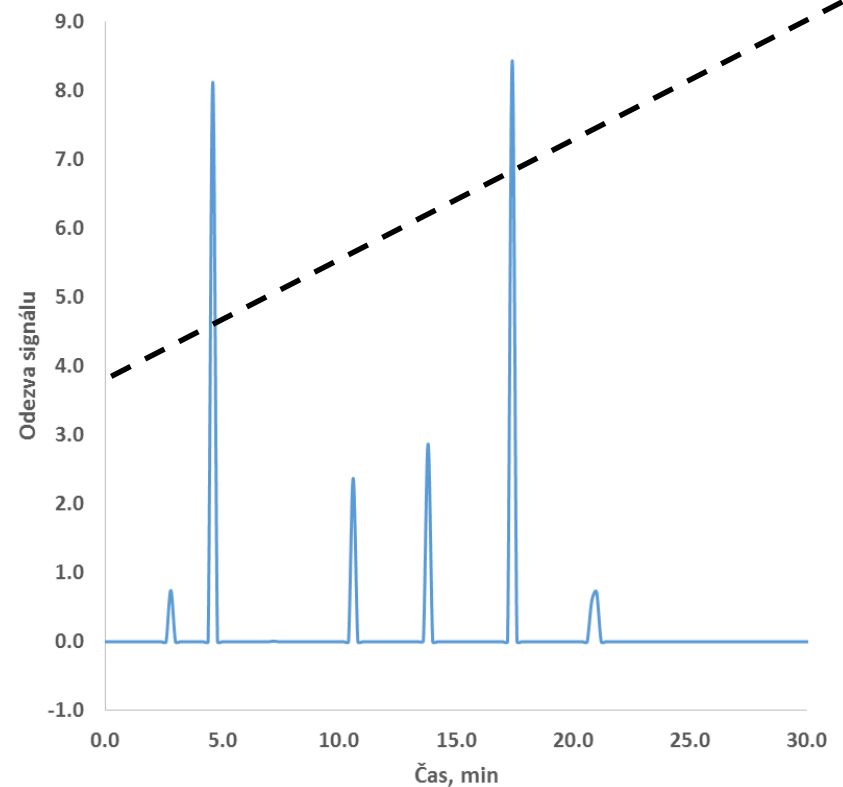
# POČÁTEČNÍ KONCENTRACE

A

5 – 80 % za 30 minut



25 – 80 za 30 min

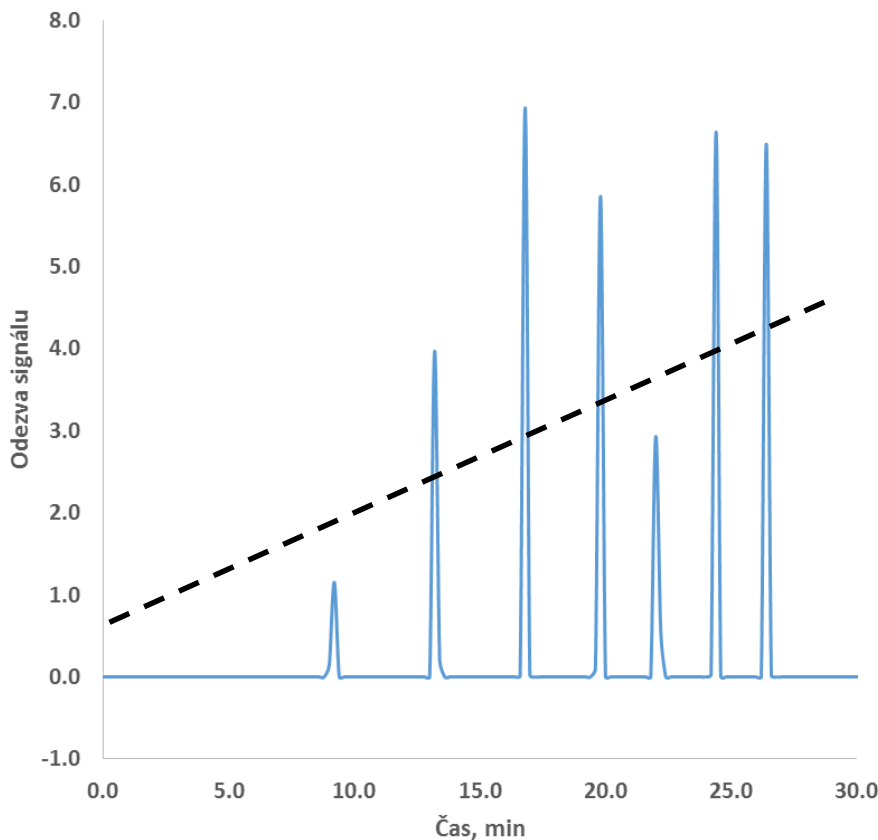


Čím vyšší, tím rychlejší eluce málo zadržovaných láték

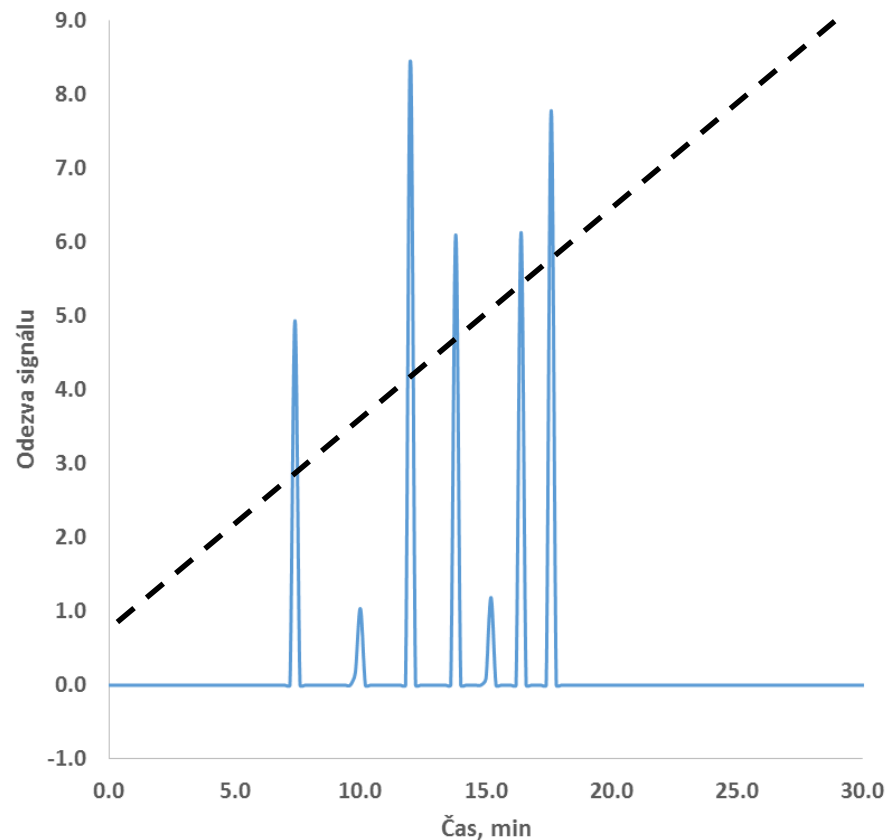
# KONCOVÁ KONCENTRACE

$\phi_K$

5 – 60 % za 30 minut



5 – 90 za 30 min

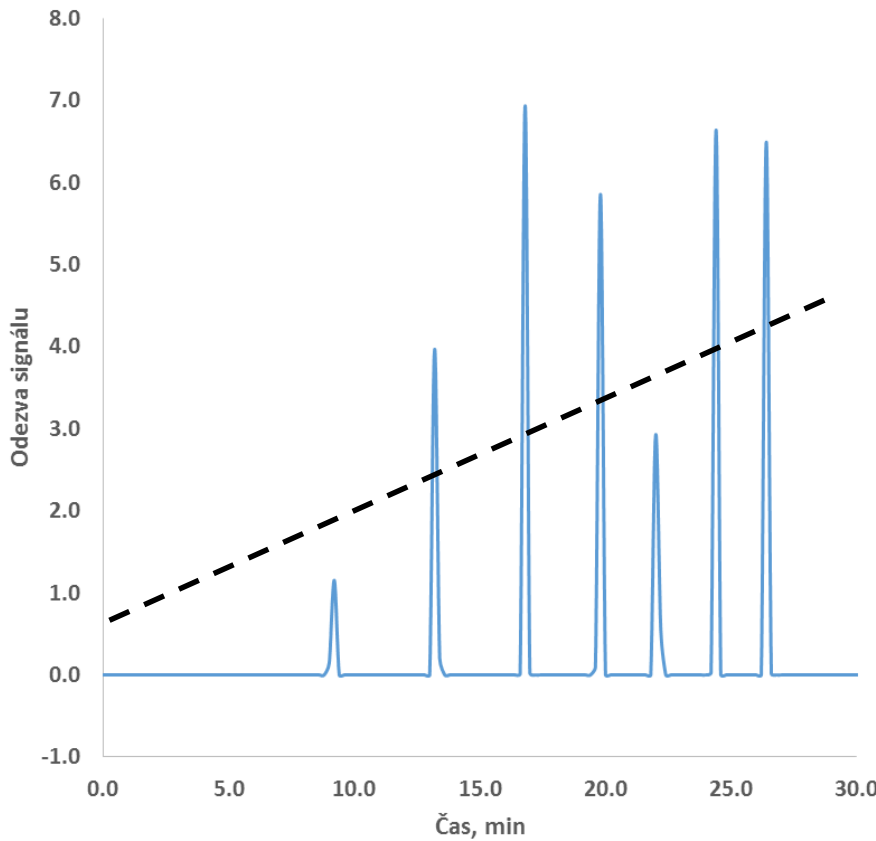


Čím vyšší, tím rychlejší eluce více zadržovaných látek

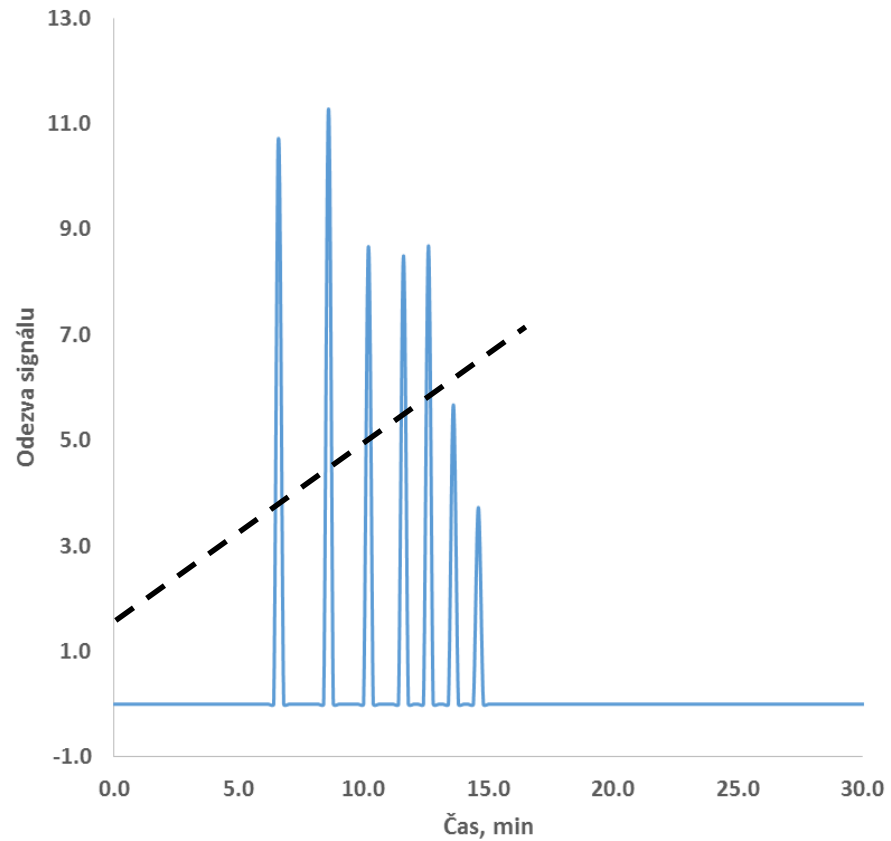
# ČAS GRADIENTU

$t_G$

5 – 60 % za 30 minut



5 – 60 % za 15 min



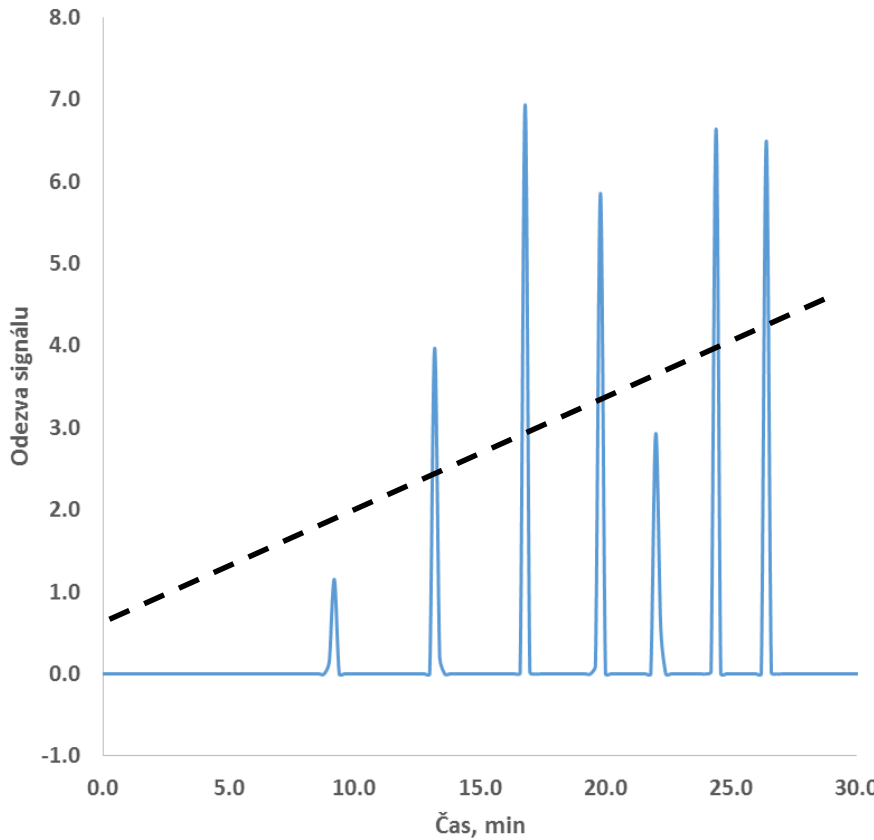
Čím vyšší, tím rychlejší eluce látek

# STRMOSŤ GRADIENTU

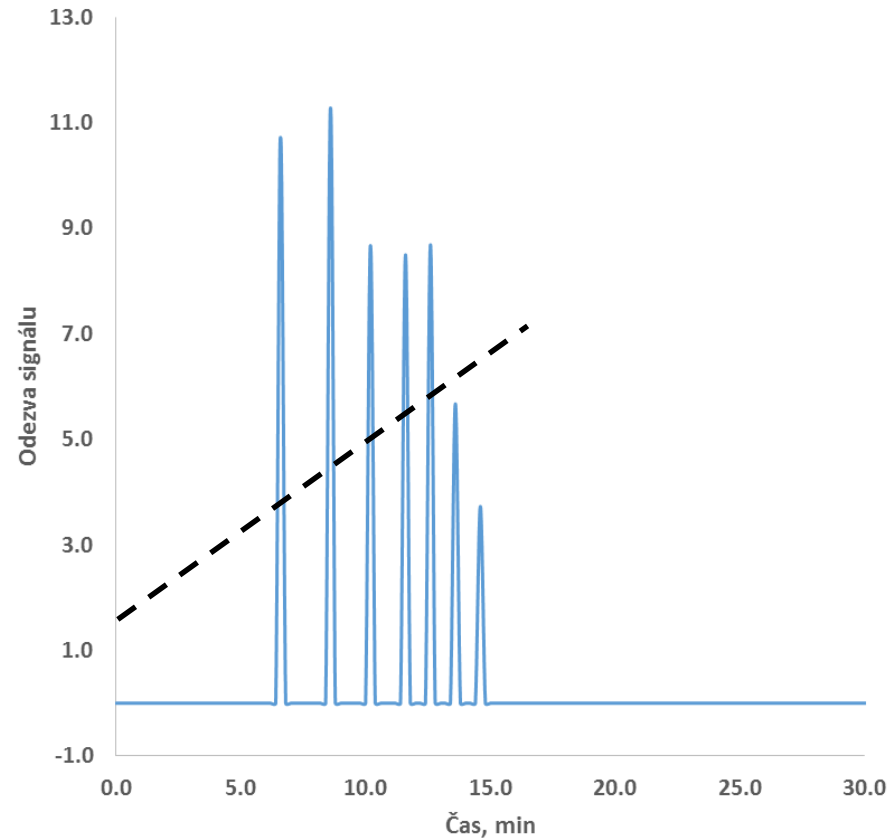
$$B = \frac{\varphi_K - A}{t_G}$$

B

5 – 60 % za 30 minut



5 – 60 % za 15 min



Čím vyšší, tím rychlejší eluce látek

# RETEŇČNÍ FAKTOR, ŠÍŘKA PÍKU A ROZLIŠENÍ

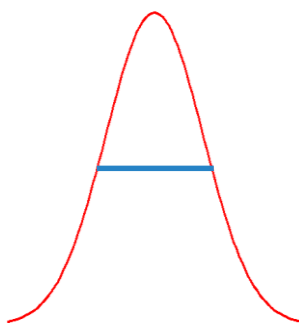


Eluční faktor v polovině kolony

$$k^* = \frac{1}{1.15B + \left(\frac{1}{a}\right)}$$

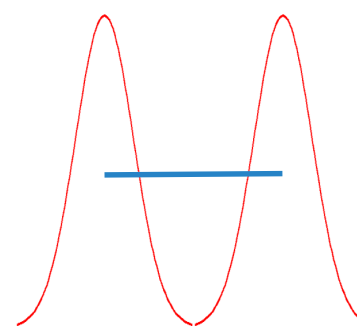
Eluční faktor v době eluce

$$k_e = \left[ 2.31m \frac{\Delta\varphi}{V_G} V_M + 10^{(mA-a)} \right]^{-1}$$



Šířka píku

$$w_g = \frac{4V_M(1 + k_e)}{\sqrt{N}}$$



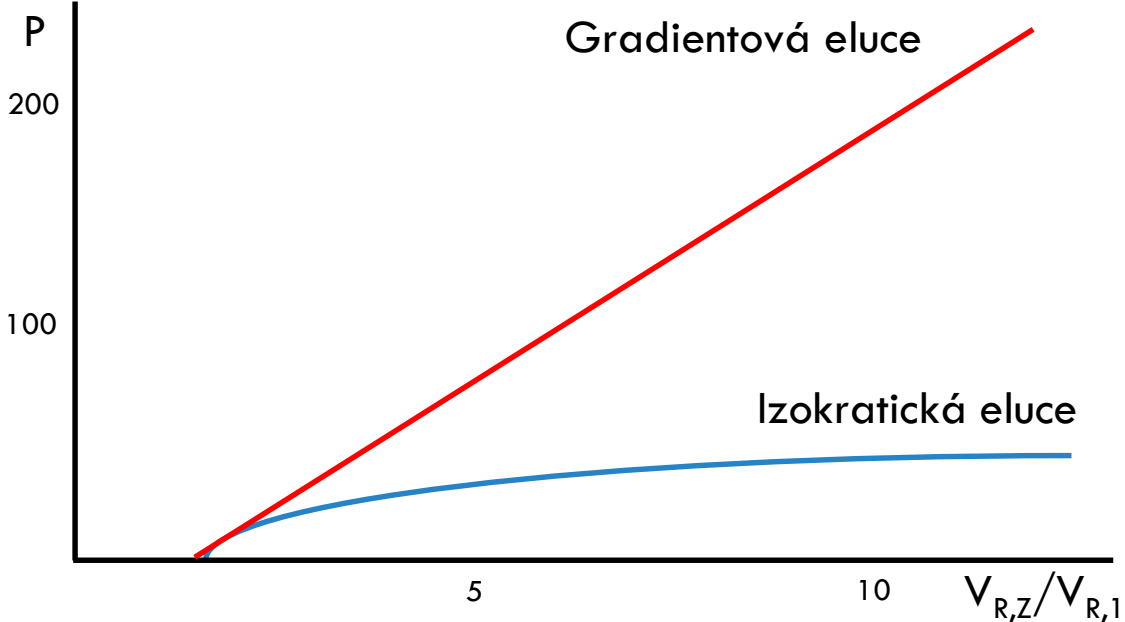
Rozlišení píků

$$R_s = \frac{V_{R(2)} - V_{R(1)}}{w_g}$$

Předpoklad konstantní šířky píku v gradientové eluci

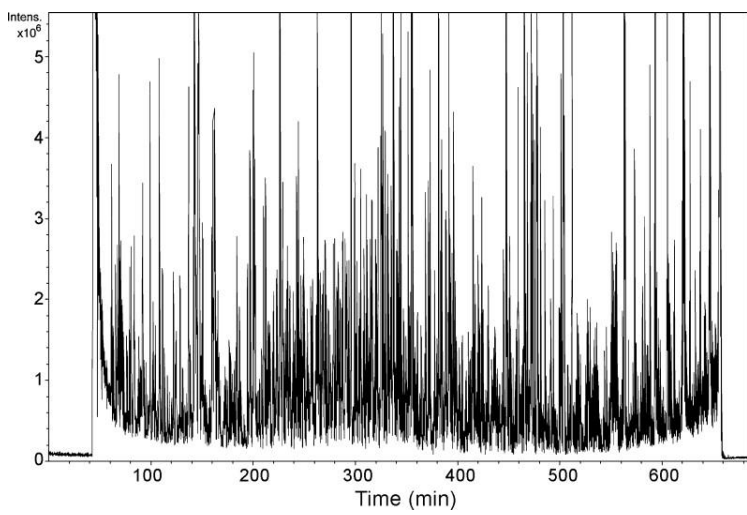
# PÍKOVÁ KAPACITA

Maximální počet píků, které lze rozdělit v rámci jedné analýzy



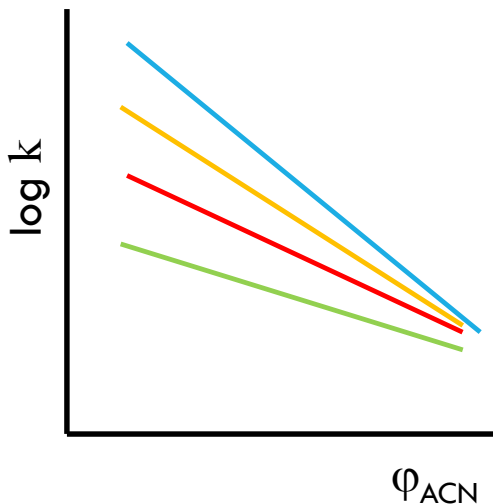
$$P = 1 + \sqrt{\frac{N}{4}} \frac{t_G}{t_m} \frac{1}{1 + [10^{(mA-a)} + 2.31m(\Delta\varphi/t_G)V_m]^{-1}}$$

$$P = \frac{\sqrt{N}}{4} \left( \frac{t_{R,Z}}{t_{R,1}} - 1 \right) + 1$$
$$P = 1 + \frac{t_G - t_m}{w_g} = 1 + \frac{\sqrt{N}}{4} \left( \frac{t_G}{t_m} - 1 \right) \frac{1}{(1 + k_e)}$$



# RETENCE V GRADIENTOVÉ ELUCI

Retence vs. složení mobilní fáze



$$\log k = \log k_0 - m \cdot \varphi = a - m \cdot \varphi$$

Retenční faktor  
v čisté vodě

Konzentrace  
(acetonitrilu)

$$\log k = a - S\varphi$$

Konstanta odpovídající  
síle mobilní fáze

Llyod R. Snyder

Teorie lineární síly rozpouštědla (Linear Solvent Strength theory, LSS)

Směrnice gradientu

$$b_s = \frac{t_0 S \Delta \varphi}{t_G} = \frac{V_m S \Delta \varphi}{t_G F_m}$$

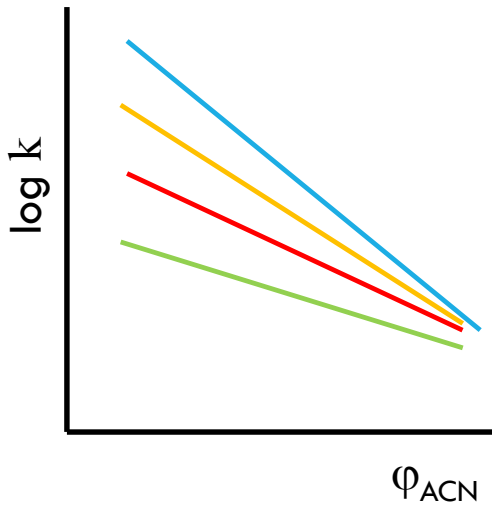
Eluční faktor v polovině kolony  
ekvivalent  $k$

$$k^* = \frac{1}{1.15 b_s} = \frac{t_G}{1.15 t_0 S \Delta \varphi}$$

# PREDIKCE RETENCE V GRADIENTOVÉ ELUCI

Retence vs. složení mobilní fáze

Pavel Jandera



$$\log k = a - m \cdot \varphi$$

lineární  
regrese

Konstanty  $a$  a  $m$

Několik gradientů (6)

nelineární  
regrese

Reverzní fáze

$$V_R = \frac{1}{m \cdot B} \log \left\{ 2.31mB [V_M 10^{(a-mA)} - V_D] + 1 \right\} + V_M + V_D$$

# PREDIKCE RETENCE V GRADIENTOVÉ ELUCI

## Normální fáze

- Nižší viskozita mobilní fáze (nižší tlak)
- Chemicky vázané stacionární fáze jsou stabilnější v čisté organice
- Lepší rozpustnost látek v organické mobilní fázi
- Analýza vysoce hydrofobních látek (neúměrně zadržovaných v RP systému)
- Separace pozičních izomerů a stereoizomerů
- Bezproblémová extrakce do nepolárních rozpouštědel (problém v RP)
- Separace syntetických polymerů nerozpustných ve vodě

$$k = k_0 \varphi^{-m}$$

$$V_R = \frac{1}{B} [(m+1)B(k_0 V_m - V_D A^m) + A^{(m+1)}]^{1/(m+1)} - \frac{A}{B} + V_m + V_D$$

## Chromatografie iontové výměny

Separace malých anorganických iontů nebo oligonukleotidů, nukleových kyselin, peptidů a proteinů.

φ odpovídá molární koncentraci elektrolytu v mobilní fázi a parametr  $m$  stechiometrickému koeficientu výměny.

## Stacionární fáze

silikagel, polární skupiny

## Mobilní fáze

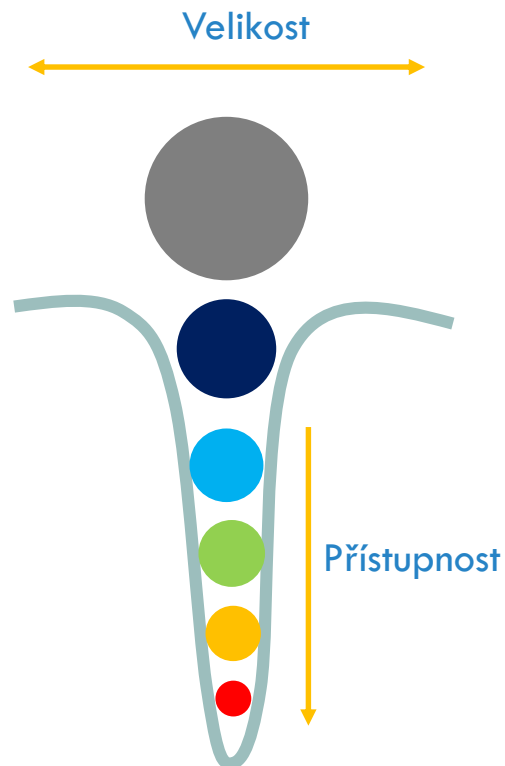
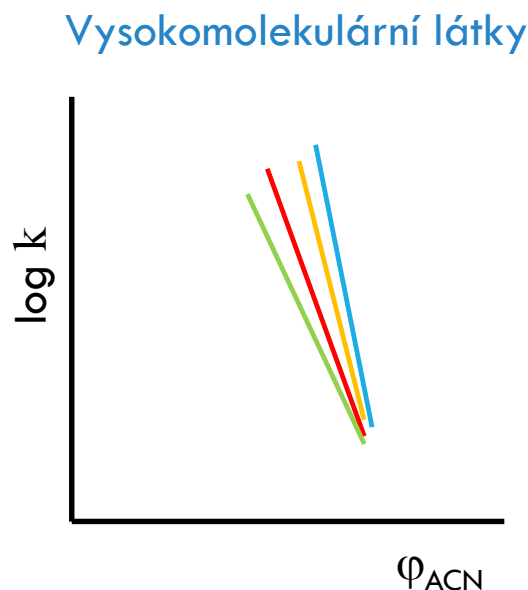
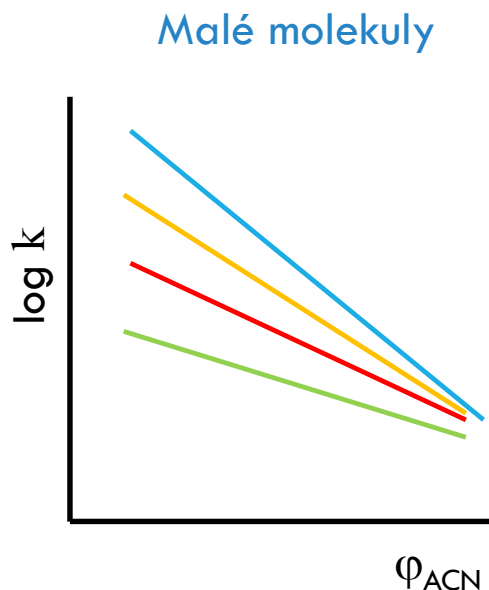
A: hexane, heptan

B: dichlormethan, methyl tert-butyl ether, alkoholy, estery, nitrily

$$k_e = k_0 \left[ (m+1) \frac{\Delta\varphi}{V_G} V_m k_0 + 10^{(m+1)} \right]^{-(m/m+1)}$$

Formálně podobné NP systému

# VYSOKOMOLEKULÁRNÍ LÁTKY



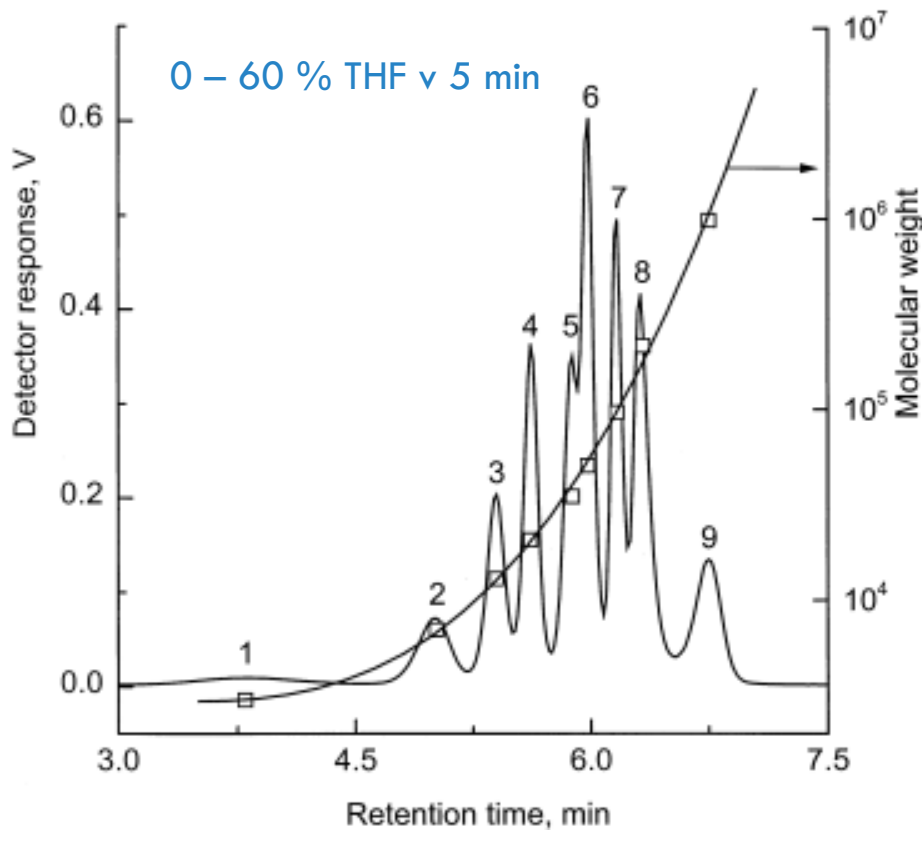
- Pomalá difúze
- On/off efekt
- Nižší dynamický rozsah eluce
- Gradientová eluce

$$V_R = \frac{1}{m \cdot B} \log \{ 2.31mB [V_M 10^{(a-mA)} - V_D] + 1 \} + V_M + V_D$$

$$m = 0.48M^{0.44}$$

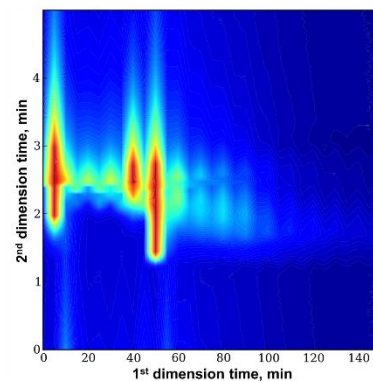
# VYSOKOMOLEKULÁRNÍ LÁTKY

## „Srážecí-rozpouštěcí“ chromatografie (GPEC)



Nadávkování směsi polymerů do „srážecí“ mobilní fáze (metanol). Postupné zvyšování koncentrace „rozpouštěcí“ mobilní fáze (THF). Eluce podle rozpustnosti/molární hmotnosti.

Lze použít k určení parametrů velikosti a distribuce polymerů.



GPEC eluce v první dimenzi separace polymerů.

# VÝVOJ METODY GRADIENTOVÉ ELUCE

Matematická optimalizace více parametrů  
(pozor na lokální maxima a minima!)

## Jednoparametrová optimalizace

- Několik iniciačních analýz (větší rozsah koncentrací a časů)
- Získání konstant  $a, m$
- Vhodné kritérium optimalizace (Rozlišení,  $R_S$ ) a jeho závislost na vybraném parametru (strmost gradientu, počáteční koncentrace, ...)
- Nalezení optimálních podmínek



Zdeněk Uhlíř

## Dvouparametrová optimalizace

- Synergický efekt ( $t_G, T$  nebo  $t_G, A$ )
- Hledání optimálních podmínek

$$B = \frac{\varphi_K - A}{t_G}$$

$$V_R = \frac{1}{m \cdot B} \log \{ 2.31mB [V_M 10^{(a-mA)} - V_D] + 1 \} + V_M + V_D$$

# VÝVOJ METODY GRADIENTOVÉ ELUCE

Matematická optimalizace více parametrů  
(pozor na lokální maxima a minima!)

## Jednoparametrová optimalizace

- Několik iniciačních analýz (větší rozsah koncentrací a časů)
- Získání konstant  $a, m$
- Vhodné kritérium optimalizace (Rozlišení,  $R_S$ ) a jeho závislost na vybraném parametru (strmost gradientu, počáteční koncentrace, ...)
- Nalezení optimálních podmínek

## Dvouparametrová optimalizace

- Synergický efekt ( $t_G, T$  nebo  $t_G, A$ )
- Hledání optimálních podmínek

$$B = \frac{\varphi_K - A}{t_G}$$



Zdeněk Uhlíř



[www.pametnik.cz](http://www.pametnik.cz)

$$V_R = \frac{1}{m \cdot B} \log \{ 2.31mB [V_M 10^{(a-mA)} - V_D] + 1 \} + V_M + V_D$$

# PŘEVOD METODY

## Základní předpoklad

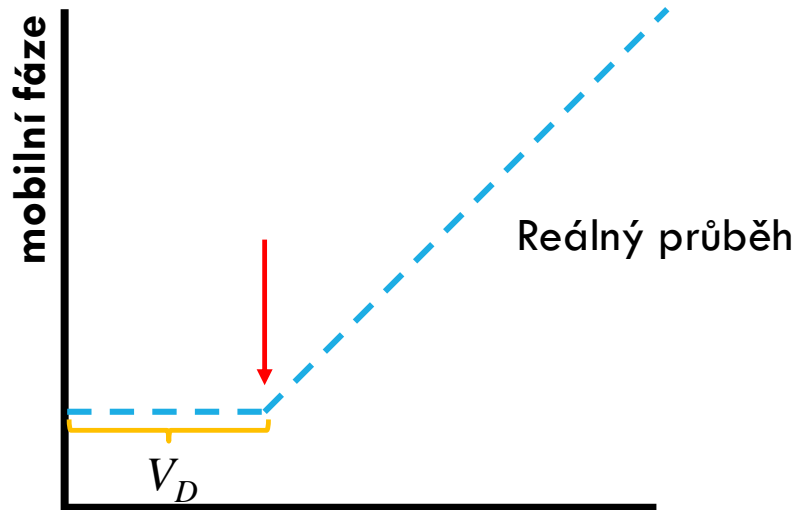
$$\frac{V_M}{V_G} = \frac{V_M}{t_G F_m} = \frac{d_c^2 L}{t_G F_m} = \text{konstanta}$$

Průměr  
a délka kolony

## Pozor na zpoždění gradientu

- Použít „dlouhé“ rovnice
- Dávkovat do „začátku“ gradientu (ne každý systém to dovoluje)

Složitější optimalizace  
než v izokratické eluci



# PŘEVOD METODY

Systém 1



$$\frac{V_M}{V_G} = \frac{V_M}{t_G F_m} = \frac{d_c^2 L}{t_G F_m} = \text{konstanta}$$

Systém 2



$L$  – délka kolony

$d_c$  – průměr kolony

$d_p$  – velikost částic

$V_i$  – dávkovaný objem

$F$  – Průtok mobilní fáze

$p$  – Pracovní tlak

$N$  – účinnost

$t_g$  – čas (v) gradientu

# PŘEVOD METODY

## Systém 1



### Průtok mobilní fáze

$$F_2 = F_1 \cdot \left( \frac{d_{c(2)}^2}{d_{c(1)}^2} \right) \cdot \left( \frac{d_{p(1)}}{d_{p(2)}} \right)$$

### Profil gradientu

$$t_{g(2)} = t_{g(1)} \cdot \left( \frac{V_{M(2)}}{V_{M(1)}} \right) \cdot \left( \frac{F_1}{F_2} \right)$$

### Dávkovaný objem

$$V_{i(2)} = V_{i(1)} \cdot \left( \frac{d_{c(2)}^2 \cdot L_2}{d_{c(1)}^2 \cdot L_1} \right)$$

### Pracovní tlak

$$p_2 = p_1 \cdot \left( \frac{L_2 \cdot F_2}{L_1 \cdot F_1} \right) \cdot \left( \frac{d_{p(1)} \cdot d_{c(1)}}{d_{p(2)} \cdot d_{c(2)}} \right)^2$$

## Systém 2





*“The ignorance of the world often makes people believe that life should be black and white – that you must choose sides – and so the world of colorful gradients goes unadmired.”*

A.J. Darkholme

*Rise of the Morningstar*